

Fundamentos para a Construção no GeoGebra de Tesselações Aperiódicas usando um Único Polígono

Astor Santos Neto, Sandra Maria Barbosa, Alcebiades Dal Col*

Universidade Federal do Espírito Santo

28 de novembro de 2023

Resumo

Neste trabalho, nós iremos explorar alguns polígonos que individualmente são capazes de preencher o plano de forma aperiódica. Estes polígonos foram descobertos recentemente por alguns pesquisadores e configuram um grande achado para a Matemática. Nós apresentaremos duas formas de construção para estes polígonos, a primeira delas é fundamentada na justaposição de cópias de uma pipa em particular e a segunda consiste em construir, com régua e compasso, a linha poligonal formada pelos lados de cada um destes polígonos. As construções são feitas no GeoGebra com riqueza de detalhes para permitir a reprodução.

Palavras-chave: Tesselações aperiódicas; Chapéu; Tartaruga; GeoGebra

Abstract

In this work, we will explore some polygons that individually are capable of filling the plane in an aperiodic way. These polygons were recently discovered by some researchers and constitute a great discovery for Mathematics. We will present two ways of constructing these polygons, the first of which is based on the juxtaposition of copies of a particular kite and the second consists of constructing, with a ruler and compass, the polygonal line formed by the sides of each of these polygons. The constructions are made in GeoGebra with great detail to allow reproduction.

Keywords Aperiodic tile; Hat; Turtle; GeoGebra

1 Introdução

Os ladrilhos estão naturalmente no nosso cotidiano em caminhos e paredes. Por exemplo, podemos ter uma parede preenchida apenas com hexágonos (6.6.6), um chão preenchido com triângulos e dodecágonos (3.12.12), ou um teto formado com quadrados e octógonos (4.8.8). Os ladrilhamentos também podem ser chamados de mosaicos ou tesselações.

No mundo matemático, dizemos que um conjunto de polígonos gera uma tesselação do plano se este conjunto for capaz de preencher completamente uma superfície bidimensional sem a sobreposição de polígonos e sem a existência de espaços vazios. As tesselações podem ser classificadas como periódicas ou aperiódicas [1]. Dentre as tesselações aperiódicas existentes, nós destacamos

*dilemastor@gmail.com, sms_barbosa@hotmail.com, alcebiades.col@ufes.br

as tesselações descobertas recentemente por Smith e seus colaboradores [2], cujo trabalho deu continuidade as investigações a respeito de conseguir uma tesselação aperiódica com o menor número de polígonos possível [1]. Smith e seus colaboradores descobriram polígonos que individualmente são capazes de preencher completamente o plano de forma aperiódica.

Já no mundo educacional, o estudo de ladrilhamentos é recomendado pela Base Nacional Comum Curricular (BNCC) [3], como vemos nas competências (EF07MA27) e (EM13MAT505). É sugerido que este estudo pode ser feito com o uso de aplicativos de geometria dinâmica que auxiliam o aluno em seu aprendizado, por exemplo: o *software GeoGebra*. Logo, com o objetivo de auxiliar alunos e professores, alguns conceitos e construções de tesselações aperiódicas serão expostos nas próximas seções.

- (EF07MA27) Calcular medidas de ângulos internos de polígonos regulares, sem o uso de fórmulas, e estabelecer relações entre ângulos internos e externos de polígonos, preferencialmente vinculadas à construção de mosaicos e de ladrilhamentos. [3, p. 309]
- (EM13MAT505) Resolver problemas sobre ladrilhamento do plano, com ou sem apoio de aplicativos de geometria dinâmica, para conjecturar a respeito dos tipos ou composição de polígonos que podem ser utilizados em ladrilhamento, generalizando padrões observados. [3, p. 541]

2 Tesselações Semirregulares e Tesselações Duais de Laves

As tesselações podem ser classificadas como regulares, semirregulares, demirregulares ou irregulares. As tesselações regulares são feitas com repetições de um mesmo polígono regular, de modo que existem três possíveis tesselações: com triângulos, quadrados e hexágonos. Isso acontece porque para revestir o plano utilizando apenas um tipo de polígono regular sem deixar lacunas e sem haver sobreposição, os ângulos internos desse polígono devem ser divisores exatos de 360° [4]. Neste trabalho, iremos nos concentrar nas tesselações semirregulares, estas são feitas de dois ou mais polígonos regulares diferentes. Um exemplo particularmente importante para o nosso estudo é a tesselação (3.4.6.4)¹.

Uma *tesselação dual de Laves* é obtida a partir de uma outra tesselação inicial. Mais precisamente, dada uma tesselação, uma tesselação (dual) de Laves têm os seus vértices dados pelos centros dos polígonos da tesselação original e as suas arestas conectam centros cujos polígonos correspondentes tem uma aresta em comum [5]. Aplicações modernas das tesselações de Laves incluem sistemas de materiais topologicamente interligados [6]. Para exemplificar, vamos considerar uma tesselação com triângulos equiláteros (3.3.3.3.3.3). A Figura 1 mostra à esquerda uma parte de uma tesselação regular com triângulos e à direita os centros dos triângulos equiláteros são exibidos na cor amarela, os quais são conectados caso os triângulos tenham uma aresta em comum. Ao expandirmos esta construção para toda a tesselação com triângulos equiláteros (3.3.3.3.3.3) obtemos uma tesselação dual de Laves que será uma tesselação regular com hexágonos (6.6.6).

Uma segunda tesselação dual de Laves que será importante para os nossos objetivos é a tesselação dual da tesselação semirregular (3.4.6.4). A Figura 2 mostra à esquerda uma parte da tesselação semirregular (3.4.6.4) e à direita é exibido a tesselação dual de Laves correspondente. Com esta construção obtemos um objeto importante, um polígono chamado de *pipa*. Mostraremos a seguir que os polígonos de Smith e seus colaboradores podem ser obtidos a partir da justaposição destas pipas seguindo uma determinada ordem de construção. Deste modo, a tesselação dual de Laves da tesselação semirregular (3.4.6.4) é um ambiente propício para a construção destes polígonos.

¹Para mais detalhes sobre esta nomenclatura, veja [1].

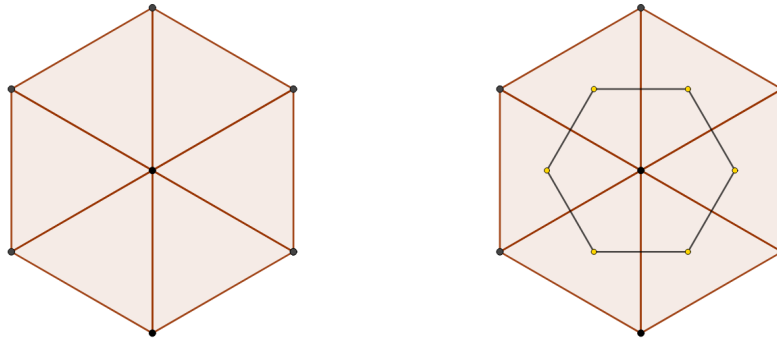


Figura 1: Tesselação dual de Laves para uma tesselação regular com triângulos

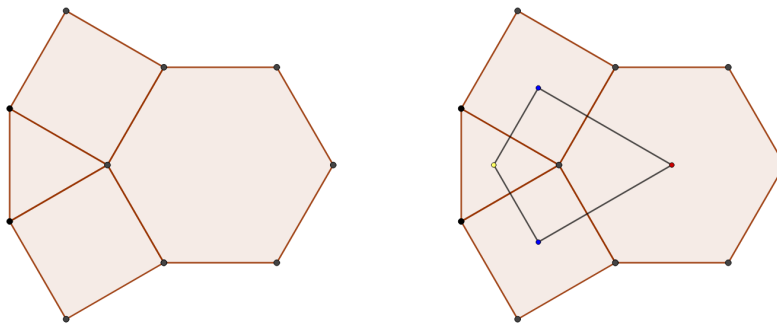


Figura 2: Tesselação dual de Laves para uma tesselação semirregular (3.4.6.4)

3 Construção dos Polígonos de Smith no GeoGebra

Nesta seção, nós mostraremos inicialmente como construir uma pipa que será fundamental para a construção dos polígonos de Smith e seus colaboradores.

Definição 1. *Uma pipa é um quadrilátero com dois pares de lados adjacentes congruentes.*

Iniciamos o software GeoGebra selecionando a *Disposição de Geometria* e configuramos o programa para mostrar a *Janela de Álgebra*. Em seguida, escolhemos dois pontos quaisquer do plano, que serão denotados por A e B , e conectamos estes pontos com um segmento. A título de exemplo, usaremos os pontos $A = (0, 0)$ e $B = (1, 0)$ (veja a Figura 3).



Figura 3: Primeira etapa na construção da pipa

Continuamos a construção criando um ângulo de 120° no sentido anti-horário a partir dos pontos B e A (nesta ordem) e conectamos o novo ponto B' obtido deste processo com o ponto A usando um segmento de reta (veja a Figura 4).

Neste momento, construímos uma reta tangente ao segmento AB passando pelo ponto B e uma reta tangente ao segmento AB' passando pelo ponto B' e determinamos o ponto C de interseção destas retas tangentes (veja a Figura 5).

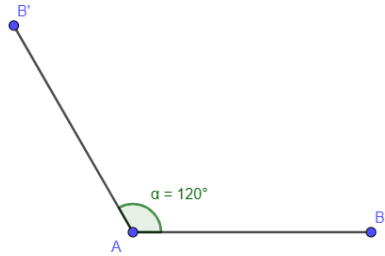


Figura 4: Segunda etapa na construção da pipa

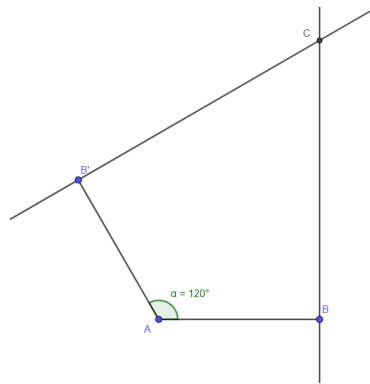


Figura 5: Terceira etapa na construção da pipa

Finalmente, nós omitimos todos os elementos desta construção com exceção dos pontos (clique $\text{Ctrl}+\text{A}$, em seguida, com o botão Ctrl pressionado, clique nos quatro pontos, e omita os objetos ainda selecionados). Em seguida, construímos o polígono $ABCB'$ (Figura 6).

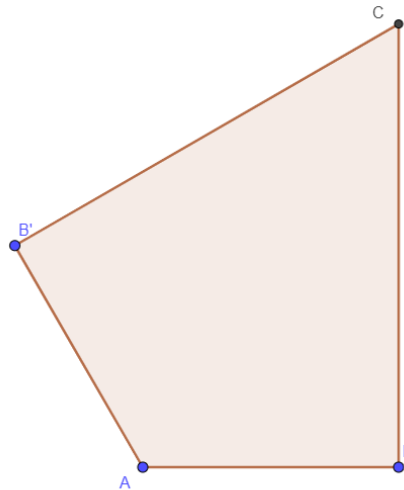


Figura 6: Quarta etapa na construção da pipa

Proposição 1. O polígono $ABCB'$ é uma pipa (veja a Figura 6).

Demonstração. Ao construirmos a diagonal AC , obtemos dois triângulos retângulos com uma hipotenusa em comum e catetos AB e AB' congruentes. Pelo caso especial de congruência para triângulos retângulos, temos que os triângulos ABC e $AB'C$ são congruentes. Consequentemente, os segmentos BC e $B'C$ são congruentes como queríamos verificar para confirmar que $ABCB'$ é uma pipa. Esta pipa será particularmente importante no que segue por este motivo a denominarmos por *pipa de Laves*. Esta nomenclatura foi escolhida visto que este polígono também pode ser obtido a partir da tesselação dual de Laves da tesselação semiregular (3.4.6.4). \square

Definição 2. Um $Tile(a, b)$ é um polígono formado pela justaposição de pipas de Laves com um par de lados adjacentes congruentes medindo a e o outro par de lados medindo b .

Passaremos a construção do polígono $Tile(1, \sqrt{3})$ no software GeoGebra. Este polígono ficou mundialmente famoso com o nome de *Hat* e o mesmo pode ser obtido com 8 pipas de Laves. Em seguida, faremos a construção do polígono $Tile(\sqrt{3}, 1)$. Este polígono ficou amplamente conhecido como *Turtle* e ele pode ser construído com 10 pipas de Laves. Finalmente, faremos a construção dos polígonos $Tile(0, 1)$, $Tile(1, 1)$ e $Tile(1, 0)$. Todas estas construções partem da construção inicial da pipa de Laves apresentada anteriormente.

Hat: Basta fazermos reflexões sucessivas das pipas obtidas em relação aos seus lados. A primeira reflexão é da pipa construída anteriormente em relação ao lado BC conforme ilustrado na Figura 7.

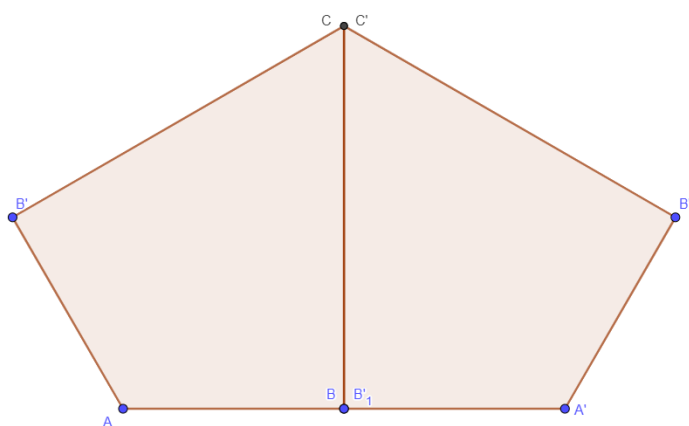


Figura 7: Primeira etapa na construção do Hat

Continuamos o processo até obtermos 8 pipas. Refletimos as pipas em relação aos lados conforme a ordem apresentada na Figura 8. Nós omitimos os rótulos de todos os elementos.

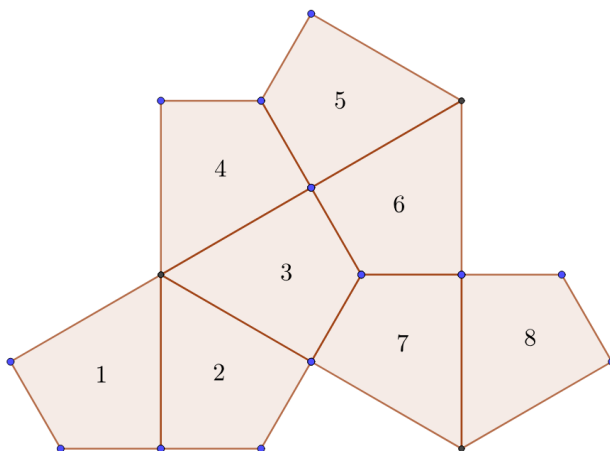


Figura 8: Segunda etapa na construção do *Hat* (*GeoGebra*)

Turtle: Para construir o polígono $Tile(\sqrt{3}, 1)$, repetimos a construção da pipa de Laves (Figura 6) e fazemos reflexões seguindo a ordem apresentada na Figura 9 até obtermos 10 pipas.

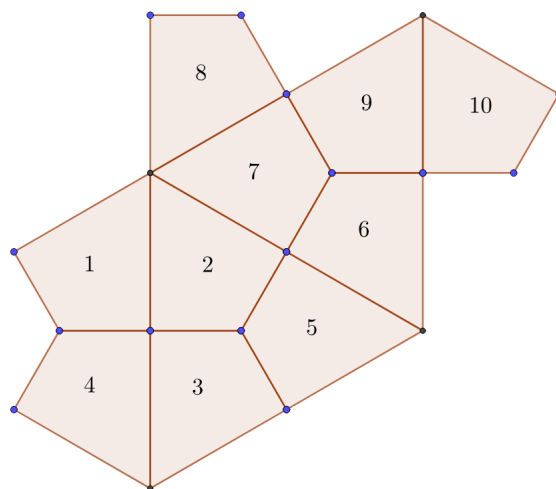


Figura 9: Construção do *Turtle* (*GeoGebra*)

Ladrilho com 12 pipas: Seguindo com as construções, vamos criar o ladrilho de Smith com 12 pipas ou $Tile(0, 1)$. Novamente, começamos a construção com a pipa de Laves (Figura 6) e seguimos fazendo reflexões. A ordem a ser seguida ao refletirmos as pipas é apresentada na Figura 10.

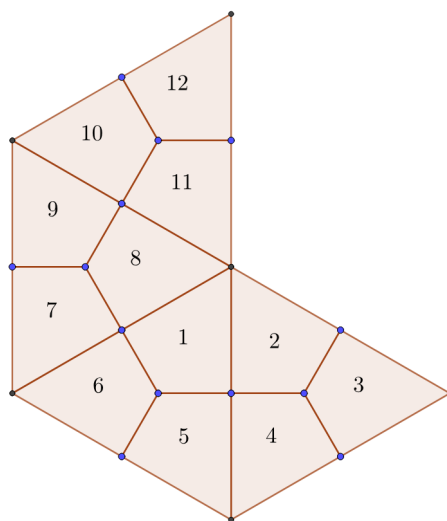


Figura 10: Ladrilho de Smith com 12 pipas ou $Tile(0, 1)$ (*GeoGebra*)

Ladrilho com 24 pipas: Finalmente, iremos construir o ladrilho de Smith com 24 pipas ou $Tile(1, 0)$. Como feito anteriormente, construímos a pipa de Laves (Figura 6) e seguimos fazendo reflexões. A ordem a ser seguida ao refletirmos as pipas é apresentada na Figura 11.

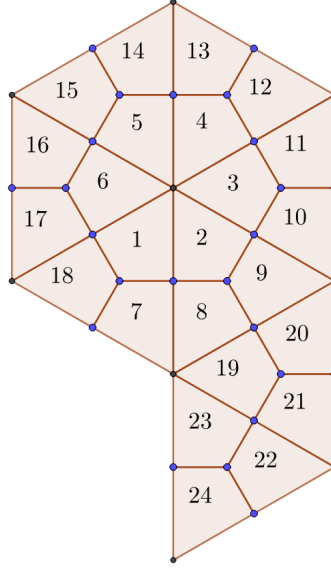


Figura 11: Ladrilho de Smith com 24 pipas ou $Tile(1, 0)$ (*GeoGebra*)

4 Outros Polígonos de Smith

Nesta seção, nós apresentaremos uma construção no GeoGebra que permite obter outros polígonos de Smith e seus colaboradores. Incrivelmente, estes pesquisadores descobriram uma infinidade de polígonos capazes de preencher o plano de forma aperiódica. Estes polígonos podem ser obtidos a partir da construção do polígono $Tile(a, 1 - a)$ com um parâmetro $a \in [0, 1]$.

Proposição 2. O $Tile(a, b)$ é semelhante ao $Tile(ka, kb)$ para qualquer constante $k \neq 0$ [2].

Demonstração. De fato, os lados correspondentes dos dois polígonos $Tile(a, b)$ e $Tile(ka, kb)$ serão proporcionais com constante de proporcionalidade k . \square

Queremos determinar uma constante $a \in [0, 1]$ de modo que o polígono $Tile(a, 1 - a)$ corresponda ao *Hat* ou ao polígono $Tile(1, \sqrt{3})$. Primeiramente, observamos que:

O polígono $Tile(1, \sqrt{3})$ é semelhante ao polígono $Tile(k, k\sqrt{3})$ (Proposição 2)

Vamos determinar uma constante k tal que $a = k$ e $1 - a = k\sqrt{3}$, desse modo:

$$1 - a = k\sqrt{3} \Rightarrow 1 - k = k\sqrt{3} \Rightarrow 1 = k + k\sqrt{3} \Rightarrow 1 = k(1 + \sqrt{3}) \Rightarrow k = \frac{1}{1 + \sqrt{3}} \approx 0.37. \quad (1)$$

Em outras palavras, o *Hat* (ou polígono $Tile(1, \sqrt{3})$) é semelhante ao polígono $Tile\left(\frac{1}{1 + \sqrt{3}}, \frac{\sqrt{3}}{1 + \sqrt{3}}\right)$. Nós vamos usar esta propriedade do *Hat* para apresentar uma outra forma de construção deste polígono. Antes disto, porém, observe que podemos mostrar de forma análoga que o *Turtle* (ou polígono $Tile(\sqrt{3}, 1)$) é semelhante ao polígono $Tile\left(\frac{\sqrt{3}}{1 + \sqrt{3}}, \frac{1}{1 + \sqrt{3}}\right)$. Mais ainda, o polígono $Tile(1, 1)$ é semelhante ao polígono $Tile\left(\frac{1}{2}, \frac{1}{2}\right)$. De fato, basta observarmos que o polígono $Tile(1, 1)$ é semelhante ao polígono $Tile(k, k)$ e tentarmos escrever este polígono como $Tile(a, 1 - a)$. Ou seja, queremos uma constante k tal que $a = k$ e $1 - a = k$, então

$$1 - a = k \Rightarrow 1 - k = k \Rightarrow 1 = 2k \Rightarrow k = \frac{1}{2}. \quad (2)$$

Hat e outros polígonos de Smith: Construimos inicialmente pontos A e B que distam a um do outro e os unimos com um segmento. O valor de a é definido por meio de um *controle deslizante* com mínimo 0.001 e máximo 0.999. Usamos o valor inicial de $a = 0.37$ como indicado na Equação (1) a fim de obtermos o *Hat* em um primeiro momento. Seguindo com a construção, traçamos a semirreta \overrightarrow{AB} , uma circunferência de centro B e raio a , e determinamos o ponto C de interseção destes dois objetos. Omitimos a semirreta e a circunferência e traçamos o segmento BC (veja a Figura 12).

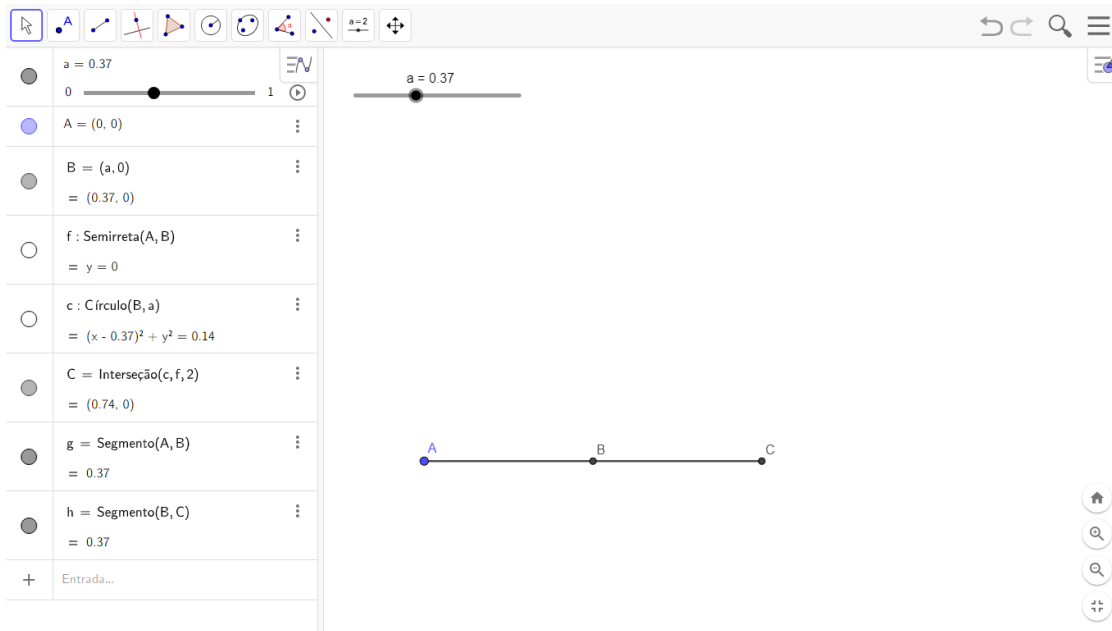


Figura 12: Primeira etapa da construção do $Tile(a, 1 - a)$

Construimos então um ângulo de 120° no sentido horário a partir dos pontos B e C (nesta ordem) obtendo assim um ponto B' . Em seguida, traçamos a semirreta $\overrightarrow{CB'}$ e uma circunferência de centro C e raio a . Obtemos um ponto D como a interseção da semirreta e da circunferência. Omitimos os objetos auxiliares criados e ligamos os pontos C e D com um segmento (veja a Figura 13). Alternativamente, como B' dista a do ponto C , poderíamos simplesmente ter renomeado o ponto B' chamando-o de D .

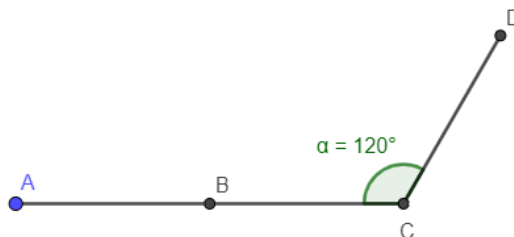


Figura 13: Segunda etapa da construção do $Tile(a, 1 - a)$

Seguindo com a construção, traçamos uma reta perpendicular à CD passando por D , uma circunferência de centro em D e raio $1 - a$. Obtemos o ponto E de interseção destes objetos. Omitimos os objetos auxiliares e traçamos o segmento DE (veja a Figura 14).

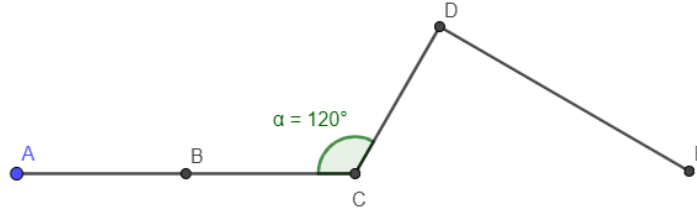


Figura 14: Terceira etapa da construção do $Tile(a, 1 - a)$

Construímos um segundo ângulo de 120° no senti horário a partir dos pontos D e E (nesta ordem) obtendo um ponto D' . Construímos então a semirreta $\overrightarrow{ED'}$, uma circunferência de centro E e raio $1 - a$ e determinamos a interseção destes dois, obtendo o ponto F . Finalizamos, esta etapa traçando o segmento EF (veja a Figura 15).

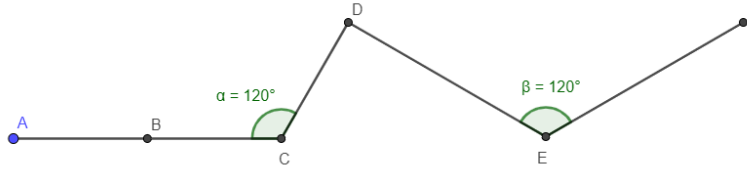


Figura 15: Quarta etapa da construção do $Tile(a, 1 - a)$

Em seguida, traçamos uma reta perpendicular a EF passando por F e uma circunferência de centro F e raio a para determinar o ponto G de interseção dos objetos. Construímos o segmento FG (veja a Figura 16).

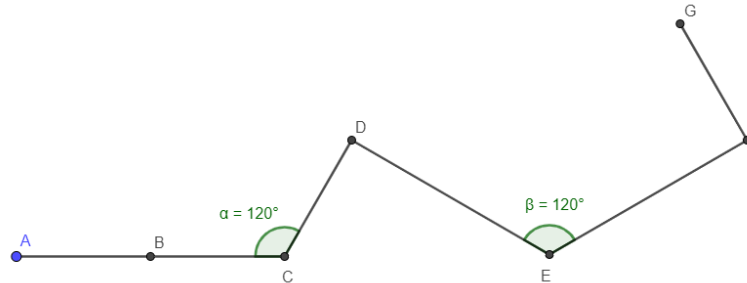


Figura 16: Quinta etapa da construção do $Tile(a, 1 - a)$

Na sequência, vamos traçar uma paralela a AB passando por G , uma circunferência de centro G e raio a e obter o ponto H de interseção destes dois objetos. Construímos o segmento GH (veja a Figura 17).

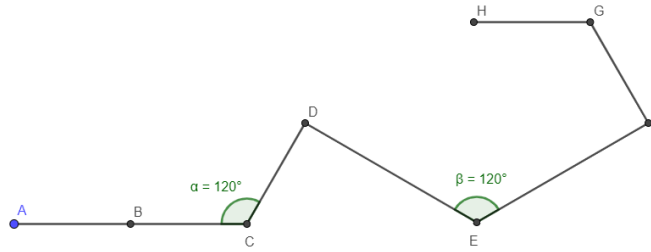


Figura 17: Sexta etapa da construção do $Tile(a, 1 - a)$

Para continuar o processo, traçamos uma perpendicular a GH por H e uma circunferência de centro H e raio $1 - a$, obtemos assim o ponto I de interseção destes objetos e construímos o segmento HI (veja a Figura 18).

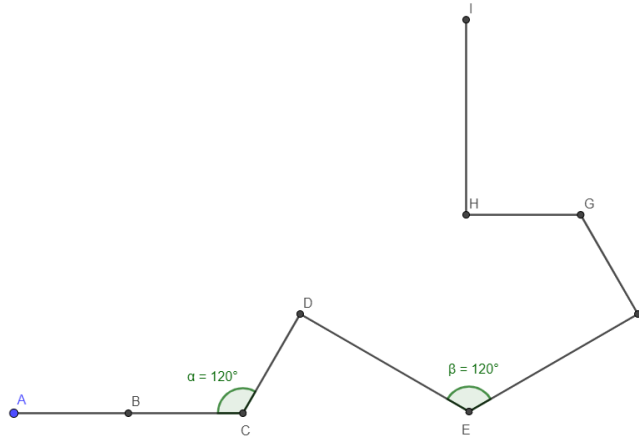


Figura 18: Sétima etapa da construção do $Tile(a, 1 - a)$

Construímos então mais um ângulo de 120° no senti horário a partir dos pontos H e I (nesta ordem) obtendo um ponto J . Traçamos o segmento IJ (veja a Figura 19).

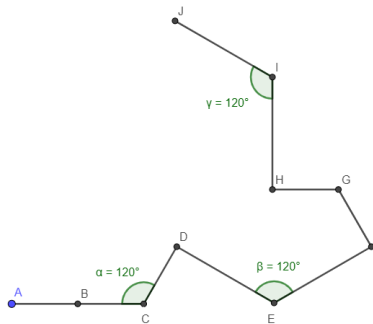


Figura 19: Oitava etapa da construção do $Tile(a, 1 - a)$

Traçamos uma reta perpendicular a IJ por J , uma circunferência de centro J e raio a e obtemos o ponto K de interseção destes objetos. Traçamos o segmento JK (veja a Figura 20).

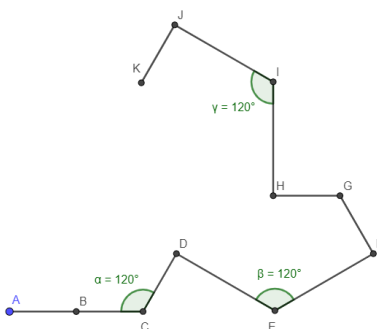


Figura 20: Nona etapa da construção do $Tile(a, 1 - a)$

Construímos um ângulo de 120° no senti anti-horário (ou 240° no sentido horário) a partir dos pontos J e K (nesta ordem) obtendo um ponto L . Traçamos o segmento KL (veja a Figura 21).

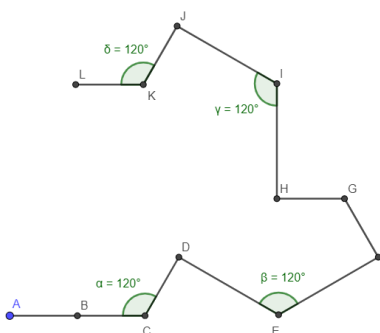


Figura 21: Décima etapa da construção do $Tile(a, 1 - a)$

Traçamos uma perpendicular a KL por L , uma circunferência de centro L e raio $1 - a$ e definimos o ponto de interseção destes objetos como M . Traçamos os segmentos LM (veja a Figura 22).

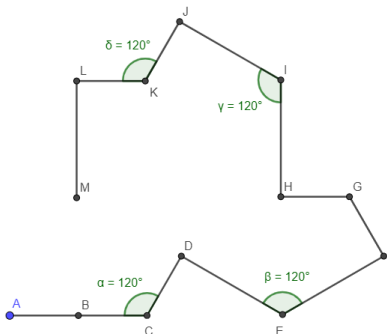


Figura 22: Décima primeira etapa da construção do $Tile(a, 1 - a)$

Construímos um ângulo de 120° no senti anti-horário (ou 240° no sentido horário) a partir dos pontos L e M (nesta ordem) obtendo um ponto N . Traçamos o segmento MN (veja a Figura 23). E, finalmente, traçamos o segmento NA .

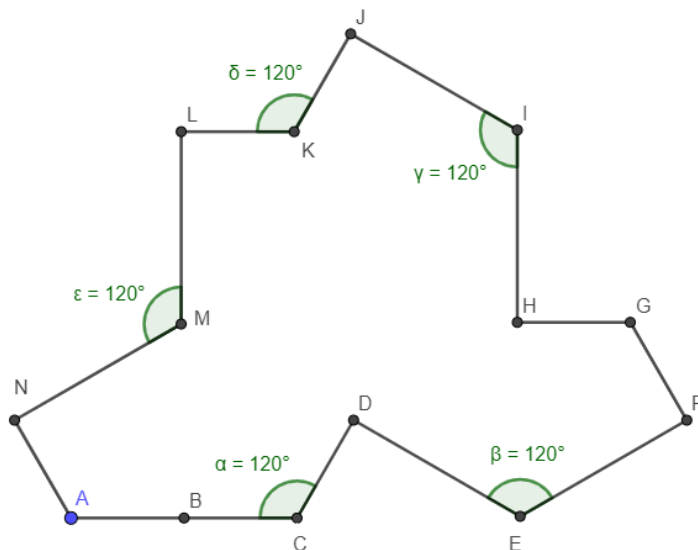


Figura 23: Décima segunda etapa da construção do $Tile(a, 1 - a)$ (*GeoGebra*)

Com o passo a passo descrito nesta construção obtemos o polígono $Tile(1, \sqrt{3})$ ou ladrilho com 8 pipas de Laves. Mas, modificando dinamicamente o parâmetro a obtemos um conjunto de polígonos que são capazes de preencher o plano de forma unicamente aperiódica². Em outras palavras, os polígonos de Smith e seus colaboradores podem ser construídos a partir de uma outra perspectiva, diferente daquela fundamentada nas pipas de Laves.

Cada polígono obtido a partir de uma constante $a \in [0, 1]$ é capaz de gerar uma tesselação unicamente aperiódica do plano com exceção dos casos $Tile(1, 0)$, $Tile(0, 1)$ e $Tile(1, 1)$ que também admitem tesselações periódicas como indicado nas Figuras 24, 25 e 26.

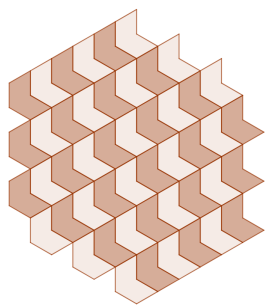


Figura 24: $Ladrilho(0, 1)$ em uma tesselação periódica

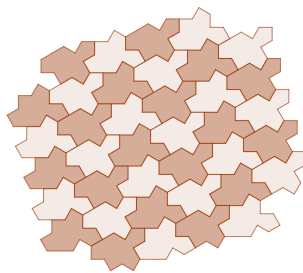


Figura 25: $Ladrilho(1, 1)$ em uma tesselação periódica

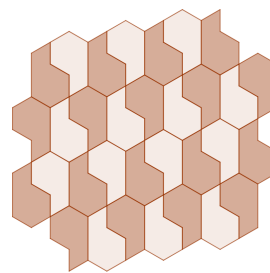


Figura 26: $Ladrilho(1, 0)$ em uma tesselação periódica

²Vídeo resultante da variação do parâmetro a : <https://youtu.be/99d9R7PwgwI>

5 Conclusão

Neste artigo, nós apresentamos em detalhes algumas formas de construção dos polígonos de Smith e seus colaboradores. A primeira construção feita através de uma pipa em particular é bastante natural quando consideramos a tesselação dual de Laves da tesselação semirregular (3.4.6.4). Os famosos polígonos Hat e Turtle podem ser construídos respectivamente com 8 e 10 pipas seguindo ordens específicas de construção. A segunda construção fundamentada nos lados de cada um dos polígonos permite com a mudança de um parâmetro obter diversos polígonos que admitem apenas uma tesselação aperiódica do plano. Neste caso, nós mostramos quais são os valores de parâmetro que dão origem ao Hat e ao Turtle. Ao longo do texto as construções foram feitas passo a passo no software GeoGebra o que permite a reprodução das construções por outros professores e pesquisadores. Além disso, a dinâmica fornecida pelo programa ajuda a visualizar a classe de polígonos descobertos por Smith e seus colaboradores com a mudança de um simples parâmetro.

Agradecimentos

Os autores desse artigo gostariam de agradecer ao Programa de Educação Tutorial - FNDE.

Referências

- [1] Neto, A., Loss, C., Silva, M., Maria, S., & Dal Col, A. (2023) Tesselações: Ladrilhos de Penrose e sua construção com o GeoGebra. Revista Professor de Matemática Online (PMO). Disponível em: <https://doi.org/10.21711/2319023x2023/pmo1106>
- [2] Smith, D., Myers, J. S., Kaplan, C. S., & Goodman-Strauss, C. (2023). An aperiodic monotile. arXiv preprint arXiv:2303.10798.
- [3] BRASIL. Ministério da Educação. Base Nacional Comum Curricular. Brasília, 2018.
- [4] CAVALCANTI, Poliana M. A. A.; BELLEMAIN, Franck R. G.; SOUZA, Robson S. A razão áurea nos ladrilhos de Roger Penrose: a sua desmistificação. Paraná, 2007. Disponível em: http://www.exatas.ufpr.br/portal/docs_degraf/artigos_graphica/ARAZAOAUREA.pdf.
- [5] Grünbaum, B., & Shephard, G. C. (1987). Tilings and patterns. Courier Dover Publications.
- [6] Williams, A., & Siegmund, T. (2021). Mechanics of topologically interlocked material systems under point load: Archimedean and Laves tiling. International Journal of Mechanical Sciences, 190, 106016.